

Численное построение дискриминационных планов эксперимента

Зуйкова Алиса Эдуардовна, гр. 14.Б02-мм

Санкт-Петербургский государственный университет
Прикладная математика и информатика
Вычислительная стохастика и статистические модели

Научный руководитель: к. ф.-м. н. П. В. Шпилев
Рецензент: д. ф.-м. н., проф. В. Б. Мелас



Санкт-Петербург
2018г.

Задача — выбор лучшей модели из нескольких конкурирующих.

Используется Т-критерий оптимальности [Atkinson, Fedorov, 1975] для таких дискриминирующего эксперимента.

Т-оптимальные планы исследовались в работах:

- The non-uniqueness of some designs for discriminating between two polynomial models in one variable [Atkinson, 2010];
- T-optimal designs for discrimination between two polynomial models [Dette, Melas, Shpilev, 2012];
- T-optimal discriminating designs for fourier regression models [Dette, Melas, Shpilev, 2017] (рассмотрены не все случаи).

Пусть результаты эксперимента описываются стандартным уравнением регрессии:

$$y = \eta(x, \theta) + \varepsilon, \quad \theta \in \Theta, \quad x \in X.$$

План эксперимента — дискретная вероятностная мера:

$$\xi = \begin{pmatrix} x_1, \dots, x_n \\ \omega_1, \dots, \omega_n \end{pmatrix},$$

где

- n — число точек плана;
- x_i — точка, в которой проводится эксперимент;
- ω_i — доля проводимых экспериментов в точке.

Имеются конкурирующие модели $\eta_1(x, \theta_1)$ и $\eta_2(x, \theta_2)$, представленные тригонометрическими многочленами:

$$\eta_1(x, \theta_1) = \bar{q}_0 + \sum_{i=1}^{k_1} \bar{q}_{2i-1} \sin(ix) + \sum_{i=1}^{k_2} \bar{q}_{2i} \cos(ix),$$

$$\begin{aligned} \eta_2(x, \theta_2) = & \tilde{q}_0 + \sum_{i=1}^{k_1} \tilde{q}_{2i-1} \sin(ix) + \sum_{i=1}^{k_2} \tilde{q}_{2i} \cos(ix) + \\ & + \sum_{i=k_1+1}^m b_{2(i-k_1)-1} \sin(ix) + \sum_{i=k_2+1}^m b_{2(i-k_1)} \cos(ix), \end{aligned}$$

где векторы параметров:

$$\theta_1 = (\bar{q}_0, \bar{q}_2, \dots, \bar{q}_{2k_2}, \bar{q}_1, \dots, \bar{q}_{2k_1-1})^T,$$

$$\theta_2 = (\tilde{q}_0, \tilde{q}_2, \dots, \tilde{q}_{2k_2}, \tilde{q}_1, \dots, \tilde{q}_{2k_1-1}, b_2, \dots, b_{2m}, b_1, \dots, b_{2m-1})^T.$$

Определение T-оптимальности

Обозначим разность $\eta_2(x, \theta_2) - \eta_1(x, \theta_1)$ за $\bar{\eta}$. Тогда

$$\bar{\eta}(x, q, \bar{b}) = q_0 + \sum_{i=1}^{k_1} q_{2i-1} \sin(ix) + \sum_{i=1}^{k_2} q_{2i} \cos(ix) + \\ \sum_{i=k_1+1}^m b_{2(i-k_1)-1} \sin(ix) + \sum_{i=k_2+1}^m b_{2(i-k_1)} \cos(ix),$$

где $q_i = \tilde{q}_i - \bar{q}_i$, $\bar{b} = (b_1, b_2, \dots, b_{2(m-k_1)-1}, \dots, b_{2(m-k_2)})^T$.

Определение

T-критерий оптимальности:

$$T(\xi, \bar{b}) = \min_q \int_X \bar{\eta}(x, q, \bar{b})^2 \xi(dx).$$

T-оптимальный план:

$$\xi^* = \operatorname{argmax}_{\xi} T(\xi, \bar{b}).$$

Цель данной работы — исследование Т-оптимальных планов для случаев, не рассмотренных в статье [Dette, Melas, Shpilev, 2017]:

- ❶ $k_1 = m - 1$, $k_2 = m - 2$ при $b_1 \neq 0$, $b_2 = 0$ при четном m ,
- ❷ $k_1 = m - 2$, $k_2 = m - 1$, при $b_1 = 0$, $b_2 \neq 0$, при нечетном m ,
- ❸ $k_1 = m - 2$, $k_2 = m - 1$, при $b_1 \neq 0$, $b_2 = 0$ при $m \geq 2$.

Задачи:

- Численное построение планов;
- Исследование зависимостей планов от параметров;
- Исследование зависимости числа точек плана от параметров;
- Поиск явного вида планов.

Теорема [Dette, Titoff, 2009]

Для фиксированного \bar{b} эквивалентны следующие условия:

$$\xi^* = \begin{pmatrix} x_1^*, \dots, x_n^* \\ \omega_1, \dots, \omega_n \end{pmatrix}, \quad x_i^* \in [0, 2\pi], \quad i = 1, \dots, n.$$

(1) ξ^* – T -оптимальный план для моделей η_1 и η_2 .

(2) Существует вектор q^* и константа $h > 0$ такие, что функция $\psi^*(x) = \bar{\eta}(x, q^*, \bar{b})$ удовлетворяет условиям:

- $|\psi^*(x)| \leq h, \quad x \in [0, 2\pi];$
- $|\psi^*(x_i^*)| = h, \quad i = 1, \dots, n;$
- $\sum_{i=1}^n \psi^*(x_i^*) \cos(jx_i^*) \omega_i = 0, \quad j = 0, \dots, k_2;$
- $\sum_{i=1}^n \psi^*(x_i^*) \sin(jx_i^*) \omega_i = 0, \quad j = 1, \dots, k_1.$

Из теоремы эквивалентности следует система необходимых условий Т-оптимальности плана:

$$|\psi(x_i^*)| = |\psi(x_{i+1}^*)|, \quad i = 1, \dots, n-1;$$

$$\psi(x_i^*)' = 0, \quad i = 1, \dots, n;$$

$$\sum_{i=1}^n \omega_i = 1;$$

$$\sum_{i=1}^n \psi(x_i^*) \cos(jx_i^*) \omega_i = 0, \quad j = 0, \dots, k_2;$$

$$\sum_{i=1}^n \psi(x_i^*) \sin(jx_i^*) \omega_i = 0, \quad j = 1, \dots, k_1;$$

где x_i^* - точки плана, ω_i - веса плана.

$k_1 = m - 1, k_2 = m - 2, b_1 \neq 0, b_2 = 0, m$ четное

Будут рассмотрены случаи $m = 2$ и $m = 4$.

В первом случае вид модели:

$$\bar{\eta}(x, q, \bar{b}) = q_0 + q_1 \sin(x) + \cos(x) + b \sin(2x).$$

$n = 2$ [Dette, Melas, Shpilev, 2016]. Алгоритм поиска x_i, ω_i, q_i :

- 1 Решение системы необходимых условий с помощью fsolve;
- 2 Проверка на оптимальность по теореме эквивалентности по графику.

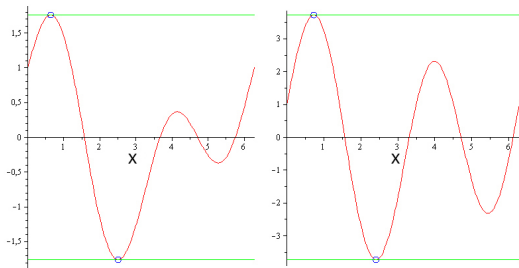
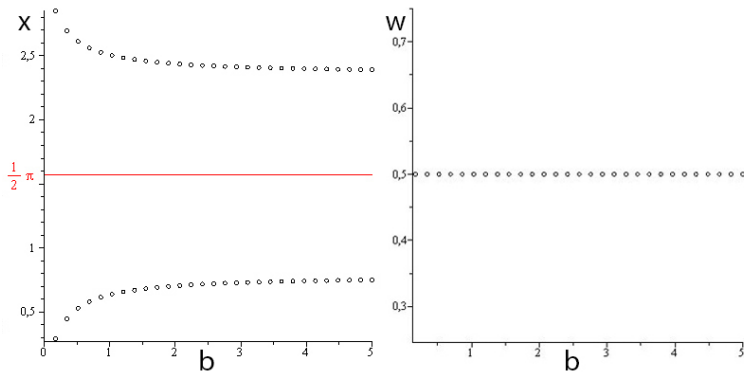


Рис.: Функция ψ^* при $b = 1$ (слева) и $b = 3$ (справа).

$$k_1 = m - 1, k_2 = m - 2, b_1 \neq 0, b_2 = 0, m = 2$$

Была численно построена зависимость точек (слева) и весов (справа) Т-оптимального плана от параметра b .



На основе графиков выдвинуто предположение: $x_1 = \pi - x_2$,
 $\omega_1 = \omega_2 = \frac{1}{2}$.

$$k_1 = m - 1, k_2 = m - 2, b_1 \neq 0, b_2 = 0, m = 2$$

Утверждение о явном виде плана

План

$$\xi^* = \begin{pmatrix} x^* & \pi - x^* \\ \frac{1}{2} & \frac{1}{2} \end{pmatrix}, x^* = \arcsin \left(\frac{-1 + \sqrt{32b^2 + 1}}{8b} \right).$$

является T -оптимальным.

Доказательство проводится по теореме эквивалентности.

$$k_1 = m - 1, k_2 = m - 2, b_1 \neq 0, b_2 = 0, m = 4$$

$$\bar{\eta}(x, q, \bar{b}) = q_0 + q_1 \sin(x) + q_2 \cos(x) + q_3 \sin(2x) + \\ + q_4 \cos(2x) + q_5 \sin(3x) + q_6 \cos(3x) + b \cos(4x).$$

Идея — построение Т-оптимального плана путем поиска глобального минимума функции

$$(\psi(x_1) + \psi(x_2))^2 + \dots + (\psi(x_{n-1}) + \psi(x_n))^2 + \sum_{i=1}^n (\psi'(x_i))^2 + \\ + \left(\sum_{i=1}^n \omega_i - 1\right)^2 + \sum_{j=0}^{m-2} \left(\sum_{i=1}^n \psi(x_i) \cos(jx_i) \omega_i\right)^2 + \sum_{j=1}^{m-1} \left(\sum_{i=1}^n \psi(x_i) \sin(jx_i) \omega_i\right)^2,$$

где функция $\psi(x) = \bar{\eta}(x, q, \bar{b})$, с помощью DirectSearch.

Возникает проблема поиска начальной точки приближения.

Построен алгоритм для ее нахождения.

$$k_1 = m - 1, k_2 = m - 2, b_1 \neq 0, b_2 = 0, m = 4$$

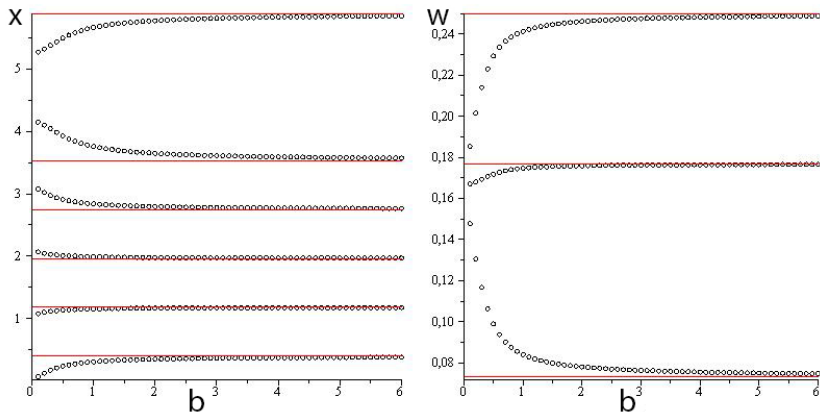


Рис.: Графики зависимости точек (слева) и весов (справа) плана от параметра b . Красными линиями показаны значения точек и весов предельного плана при $b \rightarrow \infty$.

$$k_1 = m - 1, k_2 = m - 2, b_1 \neq 0, b_2 = 0, m = 4$$

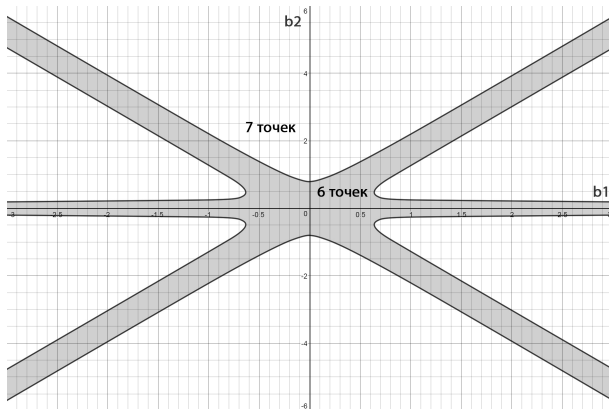


Рис.: График зависимости количества точек плана от параметров b_1 и b_2 .

$$k_1 = m - 2, k_2 = m - 1, b_1 = 0, b_2 \neq 0, m = 3$$

$$\bar{\eta}(x, q, \bar{b}) = q_0 + q_1 \sin(x) + q_2 \cos(x) + q_3 \cos(2x) + \sin(2x) + b \cos(3x).$$

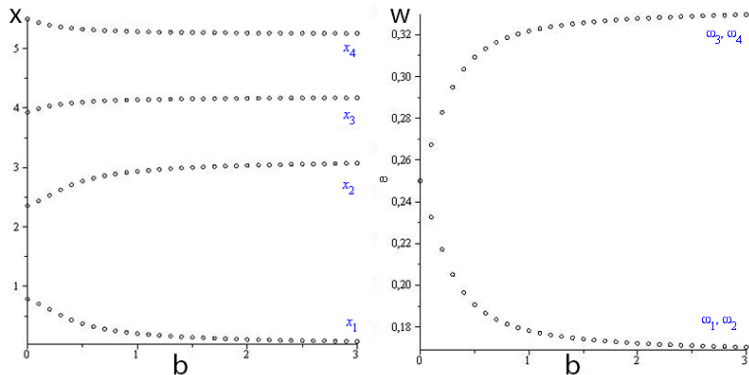


Рис.: Зависимость точек (слева) и весов (справа) Т-оптимального плана от параметра b .

$$k_1 = m - 2, k_2 = m - 1, b_1 = 0, b_2 \neq 0, m = 3$$

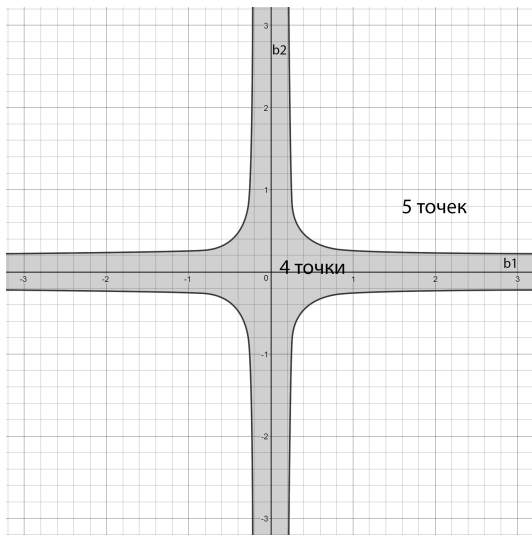


Рис.: График зависимости количества точек плана от параметров b_1 и b_2 .

$$k_1 = m - 2, k_2 = m - 1, b_1 \neq 0, b_2 = 0, m = 4$$

$$\bar{\eta}(x, q, \bar{b}) = q_0 + q_1 \sin(x) + q_2 \cos(x) + q_3 \sin(2x) + \\ + q_4 \cos(2x) + q_5 \cos(3x) + \sin(3x) + b \sin(4x).$$

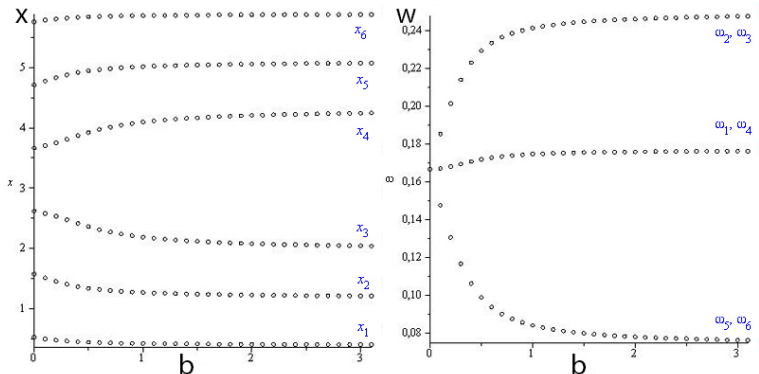


Рис.: Зависимость точек (слева) и весов (справа) Т-оптимального плана от параметра b .

- Найдены методы и построены алгоритмы численного построения Т-оптимальных планов с помощью Maple.

- Рассмотрены модели:

❶ $m = 2, k_1 = 1, k_2 = 0, b_1 \neq 0, b_2 = 0;$

❷ $m = 4, k_1 = 3, k_2 = 2, b_1 \neq 0, b_2 = 0;$

❸ $m = 3, k_1 = 1, k_2 = 2, b_1 = 0, b_2 \neq 0;$

❹ $m = 4, k_1 = 2, k_2 = 3, b_1 \neq 0, b_2 = 0;$

для каждой из которых:

- численно построены Т-оптимальные планы и изучена зависимость от параметра;
- границы областей $n-1$ и n -точечных планов найдены численно.
- Для модели 1 Т-оптимальный план найден в явном виде;
- Для модели 2 предельные значения точек и весов плана найдены в явном виде.